

การพัฒนาวิธีการจัดสรรน้ำสำหรับระบบอ่างเก็บน้ำด้วยโครงข่ายประสาทเทียม
: กรณีศึกษาในอุตุนໍາน้ำมูลตอนบน

Developing Multireservoir Water Allocation Method using Artificial Neural Networks: A Case study of Upper Mun Basin.

ทองเปลา กองจันทร์¹ และ วรารุษ ภูมิวนิชช์²

¹ นักศึกษาปริญญาเอก, ²รองศาสตราจารย์
ภาควิชาวิศวกรรมชลประทาน คณะวิศวกรรมศาสตร์ มหาวิทยาลัยเกษตรศาสตร์
วิทยาเขตกำแพงแสน นครปฐม 73140

บทคัดย่อ : การวิจัยนี้ได้พัฒนาวิธีการจัดสรรน้ำในสภาวะการขาดน้ำให้เกิดประโยชน์ ยุติธรรมและมีความเชื่อมั่นสูง ใช้อุตุนໍາน้ำมูลตอนบนเป็นกรณีศึกษา โดยใช้โครงข่ายประสาทเทียมแบบ Multilayer Feed Forward(MLFF) และมีการเรียนรู้แบบ Back-Propagation(BP) จำลองการจัดสรรน้ำของระบบอ่างเก็บน้ำ เมื่อเปรียบเทียบผลการจัดสรรน้ำจากโครงข่ายประสาทเทียมที่มี Hidden Layers ต่างๆ กันกับ HEC-3 ด้วยตัวนี้ทางสถิติ พบว่าโครงข่ายประสาทเทียมแบบ (12-16-8-4) มีความเหมาะสมที่สุดคือ มีค่า R^2 เท่ากับ 0.9634 ผลการศึกษาพบว่า โครงข่ายประสาทเทียมสามารถใช้ในการพัฒนาวิธีการจัดสรรน้ำได้อย่างมีประสิทธิผล และลดความซุ่มยากในการใช้แบบจำลอง

ABSTRACT : The study demonstrated the application of Artificial Neural Networks(ANNs) in developing water allocation method under shortage conditions taking into account of profitability, equity and reliability of multireservoir system. The Upper Mun basin was selected as a case study. Multilayer Feed Forward(MLFF) and Back – Propagation(BP) neural network was applied to model multireservoir water allocation. The outputs of ANNs model with different hidden layers were compared with the outputs of HEC-3 using statistical indicators. The ANN(12-16-8-4) model was the most appropriated. The R^2 was 0.9634. It was found in this study that ANNs can be used in developing an effective multireservoir water allocation method and thus reducing the modelling difficulty.

Keywords : Multireservoir, Water Allocation, Artificial Neural Networks

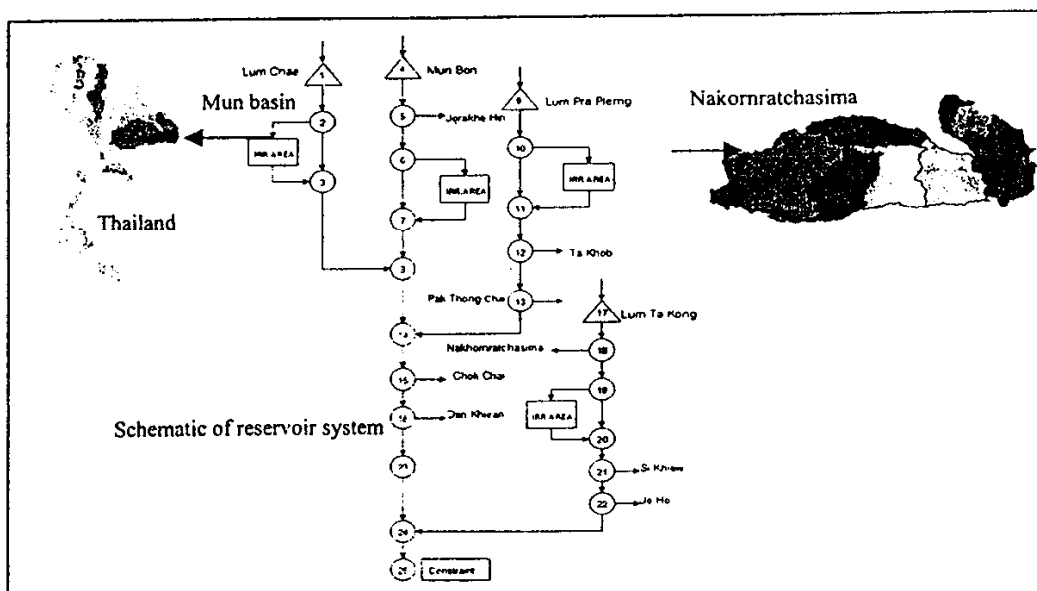
1. บทนำ

ปัจจุบันการใช้น้ำจากการบดอ่างเก็บน้ำส่วนใหญ่จะเป็นแบบเด่นกประดังค์ ซึ่งมีกิจกรรมสำคัญที่ใช้น้ำได้แก่ การเกษตร การประปา การอุตสาหกรรม การรักษาระบบนิเวศน์ด้านท้ายอ่างเก็บน้ำ เป็นต้น ในการจัดสรรน้ำจากระบบอ่างเก็บน้ำมีเป้าหมายคือ ปรับปรุงประสิทธิภาพของการใช้น้ำ โดยชื่อมโยงกับมิติทางสังคมศาสตร์ เศรษฐศาสตร์ และวิศวกรรมศาสตร์ ซึ่งการจัดสรรน้ำจะต้องให้เกิดความพึงพอใจต่อกรุ่นผู้ใช้น้ำในสภาวะปัจจุบัน และพัฒนารักษามิริมาพน้ำไว้ในอ่างเก็บน้ำให้เหมาะสมต่อเหตุการณ์ที่อาจจะเกิดขึ้นได้ในอนาคต แต่อย่างไรก็ตาม การจัดสรรน้ำที่จะบรรลุเป้าหมายตามที่ก่อตัวมานั้นจะต้องมีกระบวนการและแบบจำลองที่ซุ่งซ่อนซึ่ง เป็นสาเหตุหนึ่งที่สูญเสียการจัดการน้ำมีข้อมูลไม่เพียงพอต่อการตัดสินใจในการแก้ปัญหาร่วมกัน เช่น การเกิดอุทกภัย การขาดแคลนน้ำ เป็นต้น ดังนั้นในการวิจัยนี้จึงได้พัฒนาวิธีการจัดสรรน้ำสำหรับระบบอ่างเก็บน้ำของอุ่มน้ำมูล ตอนบนในสภาวะการขาดแคลนน้ำ (ทองเป้า และวราธุ, 2544) ให้เกิดประโยชน์สูงสุด และมีความน่าเชื่อถือมาก

2. อุปกรณ์และวิธีการ

2.1 พื้นที่ศึกษา

ทำการศึกษาในพื้นที่คลประทานของอ่างเก็บน้ำขนาดใหญ่ 4 อ่างฯ ประกอบด้วย อ่างเก็บน้ำลำแพะ อ่างเก็บน้ำบุบบุน อ่างเก็บน้ำลำพระเพลิง และอ่างเก็บน้ำลำตะคง ซึ่งอยู่ในอุ่มน้ำมูลตอนบนในเขตจังหวัดนครราชสีมา มีพื้นที่ 7,190 ตารางกิโลเมตร หรือคิดเป็น 10.31% ของพื้นที่อุ่มน้ำมูลตอนบน มีกิจกรรมการใช้น้ำประกอบด้วย การเกษตร การประปา-อุตสาหกรรม การรักษาระบบนิเวศน์ด้านท้ายอ่างเก็บน้ำ และความต้องการน้ำที่ทางออกของอุ่มน้ำ ดังแสดงในภาพที่ 1



ภาพที่ 1 พื้นที่ศึกษาและพื้นที่อุ่มน้ำมูลทั้งหมด

2.2 วิธีดำเนินการวิจัย

(1) การสร้างทางเลือกของการจัดสรรน้ำในสภาวะการขาดน้ำ

ผลการศึกษาของ ทองเปลว และวรรุช (2544, 2545) พบว่า ในปี พ.ศ. 2542 อุ่มน้ำมูลตอนบนมีอัตราการขาดน้ำทุกกิจกรรมการใช้น้ำจากระบบอ่างเก็บน้ำเฉลี่ย 17.79% ของความต้องการใช้น้ำต่อปี และอัตราการขาดน้ำจะผันแปรไปตามปริมาณน้ำที่ให้เหลืออย่างเก็บน้ำในแต่ละปี หากสภาวะการขาดน้ำดังกล่าวผู้บริหารจัดการน้ำในอุ่มน้ำมูลตอนบนได้เสนอให้ใช้มาตรการเพิ่มอัตราการขาดน้ำในทุกกิจกรรมที่ใช้น้ำจากระบบอ่างเก็บน้ำ ดังนั้นจึงสร้างทางเลือกของการจัดสรรน้ำโดยใช้ปัจมีปริมาณน้ำให้เหลือระบบอ่างเก็บน้ำอยู่ที่สุด และจัดสรรน้ำให้ที่ทางออกของอุ่มน้ำท่ากับอัตราการให้เหลืออย่างเดือนต่อสุคจากสถิติ ด้วยโปรแกรมเชิงเส้น (Linear Programming) และเทคนิคของ E-Constraint ทำการ Trade-off ของแต่ละวัตถุประสงค์และให้มีค่าสูงสุดในแต่ละฟังค์ชันวัตถุประสงค์ของการใช้น้ำตาม สมการที่ (1)

$$\text{Max } Z(x) = [Z_1(x), Z_2(x), Z_3(x)] \quad (1)$$

เมื่อ $Z_1(x)$ = การเกษตร; $Z_2(x)$ = การประปา-อุตสาหกรรม; และ $Z_3(x)$ = การรักษาระบบนิเวศน์ด้านท้าข้อจำกัดน้ำ โดยมีสมมติฐานให้การเกษตรได้ผลผลิตสูงสุด (Max. Yield) การประปา-อุตสาหกรรม และการรักษาระบบนิเวศน์ด้านท้าข้อจำกัดน้ำอยู่ที่สุด (Min. Shortage) (ทองเปลว และวรรุช, 2545)

(2) การวิเคราะห์เพื่อคัดเลือกทางเลือกของการตัดสินใจแบบหลายเกณฑ์

ใช้เทคนิคของการวิเคราะห์ตามลำดับชั้น (Analytical Hierarchy Process; AHP) (Huizingh และ Vrolijk, 1994) ในการวิเคราะห์เพื่อคัดเลือกทางเลือก (Alternative) โดยมีเป้าหมาย (Goal) คือการจัดสรรน้ำจากระบบอ่างเก็บน้ำที่เหมาะสมระหว่างผู้ใช้น้ำประเภทต่าง ๆ ในสภาวะการขาดน้ำ เกณฑ์ (Criteria) ที่ใช้พิจารณาเลือกทางเลือกประกอบด้วย ผลประโยชน์ (Profitability) ความยุติธรรม (Equity) และความเชื่อมั่น (Reliability) (ทองเปลว และวรรุช, 2545) ในการวิเคราะห์ของ AHP จะใช้ข้อมูลจากตัวบทแผนของผู้ได้เติบโตขึ้นในพื้นที่อุ่มน้ำมูลตอนบนซึ่งจะเปรียบเทียบกันทีละคู่ (Pairwise) ในลำดับชั้นของเกณฑ์ และในลำดับชั้นของทางเลือก แล้วตัดสินให้น้ำหนักด้วยสเกลของการเปรียบเทียบเชิงคุณภาพ และคำนวณหาอันดับความสำคัญสัมพัทธ์ในแต่ละลำดับชั้น ด้วยหลักการของ eigenvalue และ eigenvector ดัง สมการ (2)

$$Ax = \lambda x \quad (2)$$

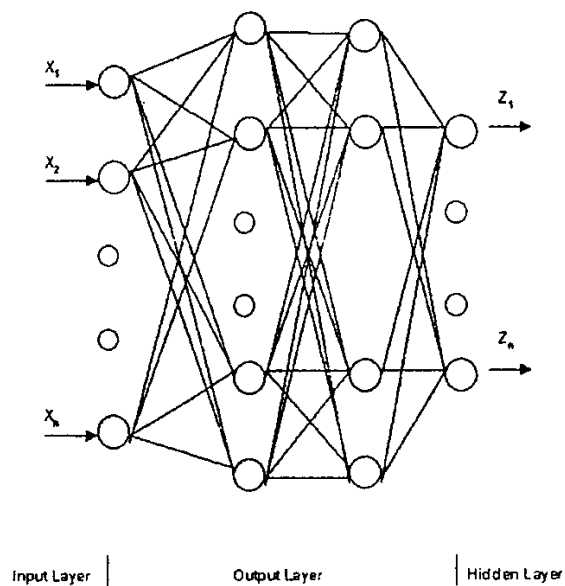
เมื่อ A = แมตทริกซ์ของ การเปรียบเทียบจากผู้บริหารและผู้เกี่ยวข้องกับการจัดสรรน้ำ ในแต่ละลำดับชั้น ; x = eigenvector แสดงอันดับความสำคัญสัมพัทธ์ในแต่ละลำดับชั้น ; และ λ = eigenvalue

(3) การจำลองระบบอ่างเก็บน้ำ

ใช้ทางเลือกที่คัดเลือกมาได้จาก AHP ใช้ข้อมูลที่มีปริมาณน้ำให้เหลือระบบอ่างเก็บน้ำเป็น 6 กรณี คือ น้อยสุด น้อย ค่อนข้างน้อย ค่อนข้างปานกลาง ปานกลาง และค่อนข้างมาก และจัดสรรน้ำให้ที่ทางออกของอุ่มน้ำท่ากับอัตราการให้เหลืออย่างเดือนต่อสุคจากสถิติข้อมูล ในการจำลองระบบอ่างเก็บน้ำในอุ่มน้ำมูลตอนบนด้วย HEC-3 (ทองเปลว และวรรุช, 2545)

(4) การพัฒนาวิธีการจัดสรรน้ำจากระบบอ่างเก็บน้ำด้วยโครงข่ายประสาทเทียม

ใช้ข้อมูลจากการจำลองระบบอ่างเก็บน้ำด้วย HEC-3 อันประกอบด้วย ปริมาณความต้องการน้ำ (Demand, D) ปริมาณน้ำในอ่างเก็บน้ำ (Storage, S) ปริมาณน้ำไหลเข้าอ่างเก็บน้ำ (Inflow, I) และปริมาณน้ำที่ปล่อยจากอ่างเก็บน้ำ (Release, R) ของระบบอ่างเก็บน้ำ ซึ่งจะได้จัดข้อมูลรายเดือนทั้งหมด 72 ชุด แล้วแบ่งข้อมูลสำหรับการสอน (Training) 80% หรือ 58 ชุด และสำหรับการทดสอบ (Testing) โครงข่ายประสาทเทียม (Artificial Neural Networks, ANNs) 20% หรือ 14 ชุด เพื่อพัฒนาวิธีการจัดสรรน้ำจากระบบอ่างเก็บน้ำในสภาวะการขาดน้ำ โดยให้ D, S และ I เป็นข้อมูลในชั้นป้อนเข้า (Input Layer) และ R เป็นข้อมูลในชั้นแสดงผลลัพธ์ (Output Layer) ส่วนในชั้นซ่อน (Hidden Layer) ต้อง Trial-Error เพื่อหาจำนวนชั้นและจำนวนหน่วย (Node) ที่เหมาะสม (วรากุล, 2544 ; Hagan และ Demuth, 1996) ดังแสดงในภาพที่ 2



ภาพที่ 2 โครงสร้างของโครงข่ายประสาทเทียม

3. ผลและวิจารณ์

(1) ทางเลือกของการจัดสรรน้ำในสภาวะการขาดน้ำ

จากการ Trade-off เพื่อสร้างทางเลือกของการจัดสรรน้ำในสภาวะการขาดน้ำจำนวน 16 ทาง เลือก ดังแสดงในตารางที่ 1 ใน 16 ทางเลือกของการจัดสรรน้ำจะมีผลผลิตรวมสูงสุดอยู่ระหว่าง 49-60% ของผลผลิตสูงสุด การประปา-อุตสาหกรรม จะมีการขาดน้ำร้อยละ 0-100% ของความต้องการสูงสุด และการรักษาระบบนิเวศน์ด้านท้ายอ่างเก็บน้ำ จะขาดน้ำร้อยละ 0-19.72% ของความต้องการปกติ

(2) ทางเลือกที่ได้จากการวิเคราะห์ลำดับชั้น (AHP)

จากความเห็นของผู้ได้รับประโยชน์ในพื้นที่ศึกษาของลุ่มน้ำมูลตอนบนรวมทั้งหมู่ 26 คน ประกอบด้วย ผู้บริหารจัดการน้ำระบบอ่างเก็บน้ำ 10 คน นักวิชาการ 1 คน ผู้แทนเกษตรกร 6 คน ผู้แทนการประปา-อุตสาหกรรม 2 คน ผู้แทนระบบนิเวศน์ 6 คน และผู้อื่น 1 คน เมื่อวิเคราะห์ความสำคัญสัมพันธ์ในชั้นของ

ตารางที่ 1 การ Trade-off เพื่อสร้างทางเลือกของการจัดสรรน้ำในสภาวะการขาดน้ำ

ทางเลือก	การเกษตร		การประปา-อุตสาหกรรม		การรักษาระบบนิเวศน์	
	ผลผลิตสูงสุด (%)	ผลผลิตลดลง (%)	ขาดน้ำข้อ硫ุค (mcm.)	การใช้น้ำลดลง (%)	ขาดน้ำข้อ硫ุค (mcm.)	ระดับน้ำลดลง (%)
1	60	40	30.24	100.00	55.43	19.72
2	59	41	20.16	72.80	55.43	19.72
3	57	43	10.08	36.40	55.43	19.72
4	56	44	0.00	0.00	55.43	19.72
5	58	42	30.24	100.00	37.14	12.97
6	56	44	20.16	72.80	37.14	12.97
7	55	45	10.08	36.40	37.14	12.97
8	54	46	0.00	0.00	37.14	12.97
9	55	45	30.24	100.00	18.69	6.34
10	54	46	20.16	72.80	18.69	6.34
11	52	48	10.08	36.40	18.69	6.34
12	51	49	0.00	0.00	18.69	6.34
13	53	47	30.24	100.00	0.00	0.00
14	51	49	20.16	72.80	0.00	0.00
15	50	50	10.08	36.40	0.00	0.00
16	49	51	0.00	0.00	0.00	0.00

เงณฑ์ (Criteria) ด้วย AHP พนวจให้ความสำคัญด้านผลประโยชน์ 41% ความเชื่อมั่น 32.3% และความยุติธรรม 26.7% ดังแสดงในตารางที่ 2 แสดงให้เห็นว่าภาพรวมของการตัดสินใจเพื่อการจัดสรรน้ำในสภาวะของการขาดน้ำจะให้น้ำหนักความสำคัญของเงณฑ์ทางด้านผลประโยชน์สูงสุด ความเชื่อมั่น และความยุติธรรมจะรองลงมาตามลำดับ

เมื่อวิเคราะห์ความสำคัญสัมพันธ์ในชั้นของทางเลือก (Alternative) จะให้ความสำคัญของทางเลือกที่ 4 สูงสุดถึง 29.38% ดังแสดงในตารางที่ 3 ทางเลือกที่ 4 เป็นทางเลือกที่ไม่ให้การประปา-อุตสาหกรรมขาดน้ำ การรักษาระบบนิเวศน์ด้านท้ายอ่างเก็บน้ำให้มีระดับน้ำในลำน้ำลดลง 19.72% จากระดับปกติ (2.46 m.) และ

จะได้ผลผิดทางการเกณฑ์รวม 56% ของผลผิดสูงสุด ซึ่งทางเลือกนี้การรักษาระบบนิเวศน์ค้านท้ายอ่างเก็บน้ำจะใช้น้ำจาก Return Flow

ตารางที่ 2 ผลการวิเคราะห์เพื่อจัดลำดับความสำคัญของเกณฑ์การจัดสรรน้ำด้วย AHP(%)

Informant	Profitability	Equity	Reliability	Informant	Profitability	Equity	Reliability
1	69.6	22.9	7.5	14	62.7	28.0	9.4
2	19.9	73.3	6.8	15	75.0	7.8	17.1
3	24.3	5.6	70.1	16	33.3	33.3	33.3
4	76.3	6.1	17.6	17	33.3	33.3	33.3
5	70.9	6.0	23.1	18	77.8	11.1	11.1
6	68.2	23.6	8.2	19	33.3	33.3	33.3
7	6.7	29.3	64.0	20	6.4	13.8	79.8
8	6.8	73.3	19.9	21	6.8	19.9	73.3
9	73.3	6.8	19.9	22	6.4	13.8	79.8
10	48.1	46.3	5.8	23	6.8	19.9	73.3
11	6.0	70.9	23.1	24	79.8	6.4	13.8
12	76.4	11.5	12.1	25	6.6	14.9	78.5
13	15.3	77.7	7.0	26	76.3	6.1	17.6
Mean					41.0	26.7	32.3

ตารางที่ 3 ผลการวิเคราะห์เพื่อจัดลำดับความสำคัญของทางเลือกการจัดสรรน้ำด้วย AHP(%)

Alternatives	Overall	Priority	Alternatives	Overall	Priority
2	0.37	16	12	14.47	3
3	5.78	5	14	1.19	11
4	29.38	1	15	0.63	14
6	1.30	10	16	8.36	4
7	4.67	6	17	1.57	9
8	24.49	2	18	1.11	12
10	2.75	7	19	0.70	13
11	2.74	8	20	0.46	15

(3) จำลองระบบอ่างเก็บน้ำในคุณภาพ HEC-3

ตัวอย่างผลจากการจำลองระบบอ่างเก็บน้ำดังแสดงในตารางที่ 4

ตารางที่ 4 ตัวอย่างข้อมูลจาก การจำลองระบบอ่างเก็บน้ำด้วย HEC-3

i	I ₁	I ₂	I ₃	I ₄	S ₁	S ₂	S ₃	S ₄	D ₁	D ₂	D ₃	D ₄	R ₁	R ₂	R ₃	R ₄
1	10.34	0.02	0.11	6.72	51.33	33.69	40.98	47.62	71.62	29.20	27.25	49.01	54.10	26.25	25.71	34.02
2	17.39	1.05	5.70	6.19	19.15	7.00	6.03	20.00	9.05	21.3	7.76	23.35	2.33	0.03	6.22	5.70
3	35.61	8.32	38.00	58.58	7.00	7.00	10.31	20.00	47.93	20.53	31.61	63.91	36.03	8.81	30.07	57.02
4	9.37	2.25	7.61	13.91	54.23	28.11	39.88	64.72	13.71	4.53	7.27	14.16	11.78	3.21	6.95	12.59
5	28.02	10.03	48.21	61.48	10.62	7.00	4.00	20.00	43.05	19.60	25.08	101.29	32.40	10.37	23.59	61.95
6	36.83	14.60	16.10	30.28	7.00	7.00	29.05	20.00	34.36	13.10	23.37	80.56	27.59	10.98	21.70	30.53
7	9.94	0.46	0.51	1.32	34.43	11.79	18.93	20.00	4.93	2.66	1.78	7.07	4.39	0.80	1.61	0.54
8	11.98	5.16	13.43	10.99	45.89	26.82	34.57	65.94	11.22	6.49	1.72	6.29	9.85	5.44	1.70	5.96
9	6.99	1.63	3.94	6.99	82.13	21.72	44.54	20.00	3.24	2.09	1.38	9.88	2.20	1.61	1.17	3.75
10	16.95	1.89	19.60	22.60	42.68	27.27	63.96	68.11	11.46	6.54	1.85	6.09	10.11	5.18	1.83	5.96
11	50.01	23.38	0.00	31.79	16.44	7.00	49.74	66.43	56.67	19.37	15.82	63.69	49.82	17.14	11.25	57.05
12	10.68	9.02	0.00	27.19	54.43	14.27	68.28	20.00	8.53	2.55	10.87	42.92	3.94	1.56	5.18	26.70
13	5.36	1.15	0.00	7.31	159.80	63.23	104.87	118.59	4.74	2.09	1.67	11.19	2.20	1.61	1.17	5.62
14	1.43	0.68	0.00	5.88	158.90	61.07	103.84	116.79	22.76	6.73	6.11	12.77	21.77	5.81	5.96	12.10

หมายเหตุ : I = ข้อมูล; I = ปริมาณน้ำให้เดินทาง; S = ปริมาณน้ำในส่างฯ; D = ปริมาณความต้องการน้ำ; R = ปริมาณการเก็บอยู่; 1=ส่างฯสำเร็จ

2=ส่างฯบกน.; 3=ส่างฯสำเร็จเพียง; 4=ส่างฯสำเร็จอย่าง

(4) พัฒนาวิธีการจัดสรรงานจากระบบอ่างเก็บน้ำด้วย ANNs

เลือกโครงสร้าง ANNs เป็นแบบ Multilayer Feed Forward (MLFF) และการเรียนรู้แบบ Back-Propagation (BP) ใช้อัตราการเรียนรู้ (Learning Rate, LR) เท่ากับ 0.1 และโมเมนตัม (Momentum Rate, MR) เท่ากับ 0.8 ผลจากการใช้โครงสร้างที่แตกต่างกันแสดงในตารางที่ 5 และ 6 และพบว่า ANNs (12-16-8-4) ดังแสดงในภาพที่ 3 มีความเหมาะสมที่สุด เมื่อจากใช้เวลา และจำนวนรอบเข้าสู่เป้าหมาย (Target) น้อยที่สุดเพียง 85 วินาที และ 17,964 รอบ ตามลำดับ ค่าดัชนีทางสถิติของผลลัพธ์เฉลี่ยคือ R^2 เท่ากับ 0.9634

ตารางที่ 5 ผลลัพธ์และประสิทธิผลของโครงสร้างที่มี Hidden Layer ต่างกัน

Algorithm	Network Configuration			Iterations	Time (Second)	Avg.error			
	I	H	O						
	1	2							
BP	12	16	- 4	23,611	98	.00005			
BP	12	12	- 4	79,190	286	.00005			
BP	12	8	- 4	2,223,491	6,696	.00021			
BP	12	16	8 4	17,964	85	.00005			
BP	12	12	8 4	28,078	120	.00005			
BP	12	8	8 4	146,227	557	.00005			

หมายเหตุ : BP, back-propagation; I, input nodes; H,hidden nodes; and O, output nodes.

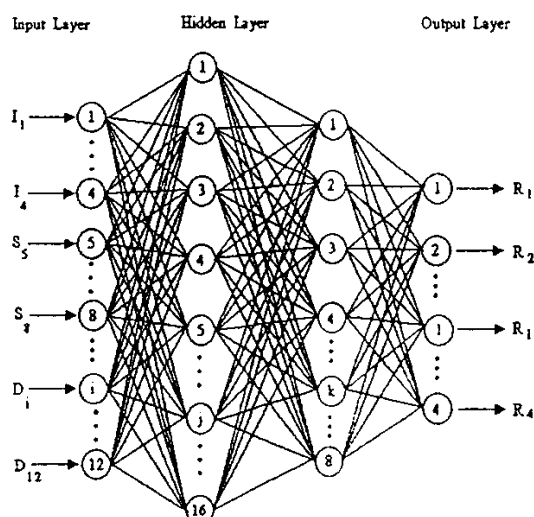
ตารางที่ 6 ค่าคัชมนีทางสถิติสำหรับการ Training และ Testing ของ ANNs.

Model	R_1						R_2					
	MSE		R^2		CORR		MSE		R^2		CORR	
	Training	Testing										
ANN(12,16,4)	4.820	17.114	.9764	.9434	.9906	.9824	2.728	4.442	.9415	.9112	.9798	.9650
ANN(12,12,4)	15.604	15.759	.9235	.9478	.9693	.9801	4.221	7.978	.9095	.8404	.9637	.9317
ANN(12,8,4)	4.948	15.892	.9757	.9474	.9895	.9844	3.138	5.695	.9327	.8861	.9739	.9535
ANN(12,16,8,4)	2.231	28.325	.9891	.9063	.9965	.9728	2.612	4.047	.9440	.9191	.9804	.9876
ANN(12,12,8,4)	3.029	21.970	.9852	.9273	.9954	.9778	2.793	7.344	.9401	.8531	.9784	.9534
ANN(12,8,8,4)	1.869	33.044	.9908	.8906	.9964	.9536	2.580	5.473	.9447	.8905	.9807	.9867

ตารางที่ 6 (ต่อ)

Model	R_3						R_4					
	MSE		R^2		CORR		MSE		R^2		CORR	
	Training	Testing										
ANN(12,16,4)	6.997	11.581	.9469	.8839	.9809	.9702	11.125	37.858	.9640	.9160	.9871	.9732
ANN(12,12,4)	14.531	22.331	.8897	.7762	.9486	.9160	29.828	46.558	.9034	.8967	.9591	.9725
ANN(12,8,4)	7.523	10.316	.9429	.8966	.9798	.9604	11.696	71.304	.9621	.8418	.9868	.9179
ANN(12,16,8,4)	5.971	13.230	.9547	.8674	.9833	.9682	10.526	38.701	.9659	.9141	.9870	.9640
ANN(12,12,8,4)	6.248	10.086	.9526	.8989	.9829	.9642	11.679	43.178	.9622	.9042	.9867	.9516
ANN(12,8,8,4)	6.035	5.778	.9542	.9421	.9833	.9778	10.346	34.737	.9665	.9229	.9875	.9805

หมายเหตุ : MSE= mean square error; R^2 = Coefficient of determination; and CORR=correlation statistic



ภาพที่ 3 โครงสร้างของ ANNs(12-16-8-4) แบบ MLFF-BP

4. สรุป

ทางเลือกของการจัดสรรน้ำจากระบบอ่างเก็บน้ำในสภาวะการขาดน้ำของอุ่มน้ำมูดตอนบนในพื้นที่ศึกษาคือทางเลือกที่ไม่ให้การประปา-อุตสาหกรรมขาดน้ำ ให้การรักษาระบบนิเวศน์ด้านท้ายอ่างเก็บน้ำมีระดับน้ำในลิ่มน้ำลดลง 19.72% จากการดับปกติ และมีผลผลิตในการเกย์ครรvenue 56% ของผลผลิตสูงสุด ซึ่งทางเลือกนี้การรักษาระบบนิเวศน์ด้านท้ายอ่างเก็บน้ำจะได้รันจากการ Return Flow เมื่อใช้ทางเลือกนี้ และข้อมูลปริมาณน้ำไหลเข้าอ่างเก็บน้ำ 6 กรณีคือ น้อบจั๊ค น้อบ ก่อนเข้าสู่น้อบ ก่อนเข้าสู่ปานกลาง ปานกลาง และก่อนเข้าสู่น้ำ จําลองระบบอ่างเก็บน้ำในอุ่มน้ำ ด้วย HEC-3 แล้วน้ำข้อมูล และผลลัพธ์จากการจำลองซึ่งประกอบด้วย I, S, D และ R นาใช้สำหรับการสอนและทดลอง ANNs เพื่อพัฒนาวิธีการจัดสรรน้ำจะได้โครงสร้างของ ANNs แบบ MLFF-BP (12-16-8-4) มีความเหณฑ์สมที่สุด การพัฒนาวิธีการจัดสรรน้ำด้วย ANNs มีจุดเด่น คือความมีประสิทธิภาพของผลลัพธ์ที่ได้มีอิสระในเทียบกับ HEC-3 จะมีค่าไกส์เคียงกัน และลดความผุ่งขากในการใช้แบบจำลอง แต่ก็มีจุดด้อยคือ ถึงแม้จะมีปริมาณน้ำในอ่างเก็บน้ำที่ระดับต่ำสุด และไม่มีปริมาณน้ำไหลเข้าอ่างเก็บน้ำ แต่ ANNs ยังให้ปล่อยน้ำ และมีบางครั้งที่ปริมาณน้ำที่ปล่อยจากอ่างเก็บน้ำ มากกว่าความต้องการ ดังนั้นมี่อน้ำไปประบุกต์ใช้งาน จําเป็นต้องคำนึงถึงข้อจำกัดของวิธีการที่ให้จากการพัฒนาด้วย

5. กิตติกรรมประกาศ

ผู้จัดข้อมูล สมาคมศิษย์เก่าวิศวกรรมชลประทาน ในพระบรมราชูปถัมภ์ และบัณฑิตวิทยาลัย
มหาวิทยาลัยเกษตรศาสตร์ สำหรับการให้ทุนสนับสนุน

6. เอกสารอ้างอิง

1. Hagan T, Demuth B. Neural Network Design . PWS Publ. Co., Boston, 1996.
2. Huizingh E, Vrolijk J. Decision Support for Information Systems Management : Applying Analytic Hierarchy Process, Organization and Management 1994; 15p
3. ทองเปลว กองจันทร์, วรารุษ วุฒิวิษัย. สภาวะการขาดน้ำของอุ่มน้ำมูดตอนบน. เอกสารประกอบการประชุม
ทางวิชาการวิศวกรรมแหล่งน้ำแห่งชาติครั้งที่ 1, 20-21 ธันวาคม 2544. 9 หน้า
4. ทองเปลว กองจันทร์, วรารุษ วุฒิวิษัย. การตัดสินใจแบบหลักเกณฑ์เพื่อการจัดสรรน้ำในสภาวะการขาดน้ำ
จากระบบอ่างเก็บน้ำ . เอกสารประกอบการประชุมทางวิชาการ มหาวิทยาลัยเกษตรศาสตร์ ครั้งที่ 4), 3-5
กุมภาพันธ์ 2546. 10 หน้า
5. วรารุษ วุฒิวิษัย. Artificial Neural Networks . ชลกร ฉบับวันชุชาติ , 4 มกราคม 2544. 14 หน้า